



بیستمین کنفرانس اپتیک و فوتونیک ایران
و ششمین کنفرانس مهندسی و فناوری فوتونیک ایران
۸ تا ۱۰ بهمن ماه ۱۳۹۲ - دانشگاه صنعتی شیراز



طراحی دیکدر نوری مبتنی بر کریستالهای فوتونیک

سمیه سراج‌محمدی^۱، مهسا جهان‌آرا^۱، فرهاد مهدیزاده^۱ و حامد علیپوربنایی^۲

۱- دانشگاه آزاد اسلامی، واحد اهر، گروه مهندسی برق، اهر، ایران

۲- دانشگاه آزاد اسلامی، واحد تبریز، گروه مهندسی برق، تبریز، ایران

چکیده - در این مقاله با استفاده از رزوناتورهای حلقوی و اثر کر یک سویچ دیکدر ۱ به ۲ طراحی و شبیه سازی شده است. ساختار پیشنهادی ما دارای دو پورت ورودی می باشد که یکی بعنوان پورت بایاس و دیگر بعنوان پورت منطقی عمل می کند. دیکدر ۱ به ۲ دارای دو پورت خروجی می باشد که روشن بودن هر یک از این دو پورت توسط پورت ورودی منطقی کنترل می شود. در طراحی و شبیه سازی این دیکدر پیشنهادی از روشهای عددی مانند بسط امواج مسطح و تفاضل نامتناهی در حوزه زمان استفاده شده است.

کلید واژه-اثر کر، دیکدر نوری، کریستال فوتونیک، رزوناتور حلقوی.

Designing Optical Decoder Based on Photonic Crystals

Somaye Serajmohammadi¹, Mahsa Jahanara¹, Farhad Mehdizadeh¹ and Hamed Alipour-Banaei²

1- Department of Electrical Engineering, Islamic Azad University, Ahar Branch, Ahar, Iran

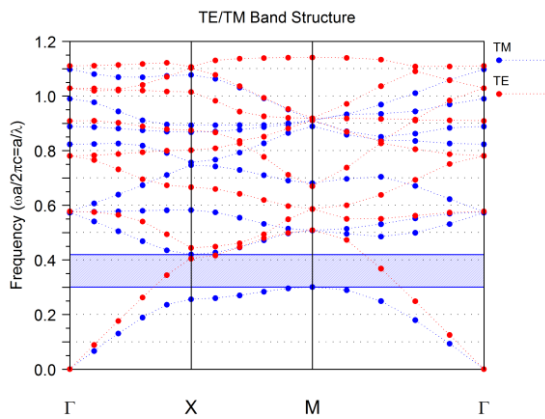
2- Department of Electronics, Islamic Azad University, Tabriz Branch, Tabriz, Iran

Abstract- In this paper we proposed and all optical 1 to 2 decoder switch based on photonic crystal ring resonator and nonlinear Kerr effect. The proposed structure has 2 input ports namely bias and logic input ports. The 1 to 2 decoder has two output port which can be switched ON/OFF using the logic input port. For designing and simulation of the proposed structure we employed numerical methods such as plane wave expansion and finite difference time domain methods.

Keywords: Photonic crystal, Optical decoder, Kerr effect, Ring resonator.

۱- مقدمه

nm ثابت شبکه یا دوره تناوب کریستال فوتونی دو بعدی می باشد. ساختار باند کریستال فوتونی پایه با استفاده از روش بسط امواج مسطح به صورت شکل ۱ محاسبه و رسم شده است. شکل ۱ نشان می دهد که ساختار پایه ما دارای باند ممنوعه فوتونی در مد TM در محدوده فرکانس نرمالیزه $0/3 < a/\lambda < 0/42$ می باشد که متناظر با محدوده طول موجی $1500 \text{ nm} < \lambda < 2100 \text{ nm}$ می باشد. از آنجاییکه باند ممنوعه ساختار در مد TM می باشد همه شبیه سازی ها نیز در این مد انجام خواهد شد.



شکل ۱. ساختار باند کریستال پایه

برای طراحی دیکدر مورد نظر ابتدا با حذف یک ردیف کامل از میله های دی الکتریک یک موجبر باس را درون کریستال فوتونی ایجاد می کنیم. در مرحله بعد یک آرایه مربعی 7×7 از میله های دی الکتریک را در مجاورت موجبر باس حذف کرده و یک ساختار کریستال ۱۲ تایی شبه متناوب در مرکز مربع ایجاد شده قرار می دهیم تا بدین ترتیب یک ساختار رزوناتور حلقوی ایجاد شود. پارامترهای این رزوناتور حلقوی چنان انتخاب شده اند که طول موجی رزونانسی این حلقه رزونانسی در 1550 nm باشد. در مرحله بعد یک موجبر L شکل در مجاورت حلقه رزونانسی ایجاد می شود. آخرین موجبر مربوط به حلقه ورودی می باشد که پورت ورودی منطقی را به حلقه رزونانسی وصل می کند. ساختار نهایی دیکدر آرایه شده در شکل ۲ نشان داده شده است. که دارای دو پورت ورودی به نام های O1 و O2 می باشد که روشن و خاموش بودن این پورت ها توسط پورت ورودی منطقی I کنترل می شود. پورت بایاس هم مربوط به نور بایاس می باشد.

توسعه و پیشرفت شبکه های نوری و سیستم های مخابرات نوری نیاز به مدارات و قطعات تمام نوری را ایجاد کرده است. در حال حاضر هدف شبکه های مخابراتی رسیدن به پهنای باند و سرعت انتقال بسیار بالا می باشد که با استفاده از سیستم های مبتنی بر قطعات الکترونیکی امکان رسیدن به آنها وجود ندارد. لذا محققین و مهندسين عرصه اپتیک و فوتونیک به دنبال رسیدن به شبکه های تمام نوری هستند که مستلزم داشتن قطعات تمام نوری می باشد.

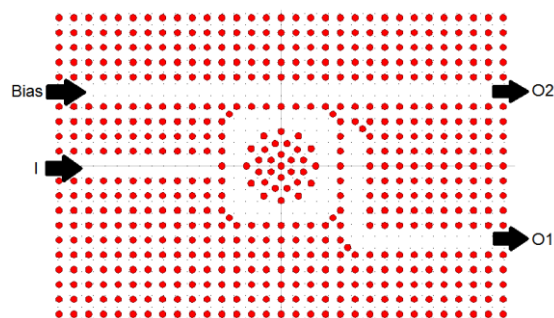
در حال حاضر کریستال های فوتونی بهترین گزینه برای طراحی قطعات تمام نوری می باشند که بعلاوه داشتن باند ممنوعه فوتونی امکان حبس و کنترل انتشار نور در فضاهای بسیار کوچک و فشرده را فراهم می سازد. در سالیان اخیر قطعات نوری مختلفی برای استفاده در سیستم های مخابرات نوری و پردازش نوری با استفاده از کریستال های فوتونی طراحی و شبیه سازی شده است که از آنجمله می توان به فیلترهای نوری [۱-۴]، دی مالتی-پلکسهای نوری [۵-۸]، سویچ نوری [۹] و گیت های نوری [۱۰-۱۱] اشاره کرد.

یکی از قطعات اساسی که کاربردهای فراوانی در شبکه های سویچ زنی دارد دیکدر می باشد. در این مقاله هدف طراحی و شبیه سازی ساختار دیکدر نوری ۱ به ۲ است که در آن با یک پورت ورودی منطقی می توان بین دو پورت خروجی عمل سویچ زنی را انجام داد. چن و همکارانش [۱۲] یک نمونه دیکدر ۲ به ۴ را با استفاده از تداخل سنج چند حالتی طراحی کرده اند که مکانیزم کاری اش مبتنی بر سویچ زنی الکترو-اپتیک است. هدف ما طراحی ساختاری است که کاملاً در حوزه نور کار کند.

۲- طراحی دیکدر

ساختار پایه بکار رفته برای طراحی دیکدر نوری یک کریستال فوتونی دوبعدی متشکل از میله های دی الکتریک در بستر هوا می باشد. جنس میله های دی الکتریک از شیشه کلکوجناید می باشد که دارای ضریب شکست $3/1$ در طول موج 1550 nm می باشد. شعاع میله های دی الکتریک $r=0/215*a$ می باشد که $a=630$

رزونانسی اش در طول موج 1550 nm باشد. این بدان معناست که اگر نوری با این طول موج در موجبر باس منتشر شود از طریق رزوناتور حلقوی به موجبر L شکل کوپل می‌شود. این در شرایطی است که شدت توان نور ورودی کم باشد و به اصطلاح ساختار در ناحیه خطی باشد. اگر شدت توان نور ورودی زیاد شود، افزایش شدت توان نور ورودی منجر به افزایش ضریب شکست ساختار شده و آنهم منجر به افزایش طول موج رزونانسی حلقه رزونانسی می‌شود. اگر این افزایش توان نوری تا حدی ادامه یابد که مد رزونانسی بطور کامل از 1550 nm جابجا شود دیگر نور امواج نوری با طول موج 1550 nm نمی‌توانند از طریق حلقه رزونانسی به موجبر L شکل کوپل شوند به این مقدار شدت توان نور ورودی اصطلاحاً شدت توان سویچ زنی می‌گوییم که برای این ساختار حدود $2 \text{ kW}/\mu\text{m}^2$ بدست آمده است. در ادامه نحوه کار و نیز عملکرد دیکدر طراحی شده را برای حالت‌های مختلف ورودی I بررسی می‌کنیم. شکل ۳ (الف) حالتی را نشان می‌دهد که در آن ورودی $I=0$ بوده و فقط نور بایاس با شدت توان $1 \text{ kW}/\mu\text{m}^2$ با طول موج مرکزی 1550 nm از پورت بایاس وارد ساختار می‌شود و در موجبر باس منتشر می‌شود با توجه به اینکه شدت توان نور کمتر از شدت توان آستانه لازم برای سویچ زنی حلقه رزونانسی می‌باشد و طول موج مرکزی اش نیز با طول موج رزونانسی حلقه مطابقت دارد امواج نوری ورودی از طریق حلقه به موجبر L شکل کوپل شده و به سمت پورت $O1$ می‌روند که باعث می‌شود برای این حالت ورودی $I=0$ پورت $O1=1$ و روشن باشد در حالیکه پورت $O2=0$ و خاموش می‌باشد. حالت دوم مربوط به زمانی است که $I=1$ بوده و پورت ورودی منطقی روشن می‌شود شدت توان نور تابشی به این پورت نیز $1 \text{ kW}/\mu\text{m}^2$ می‌باشد. حال با وجود نور بایاس و نور پورت ورودی منطقی مجموع کل شدت توان نور در اطراف حلقه رزونانسی برابر $2 \text{ kW}/\mu\text{m}^2$ می‌باشد که به حد شدت توان آستانه لازم برای سویچ زنی رسیده است در این حالت این شدت توان نور بالا باعث افزایش ضریب شکست میله‌های هسته و مجاور حلقه رزونانسی می‌شود که در نهایت به افزایش طول موج رزونانسی حلقه رزونانسی منجر می‌شود لذا نور بایاس با طول موج مرکزی 1550 nm دیگر نمی‌تواند از



شکل ۲. ساختار نهایی دیکدر ۱ به ۲

همانگونه که اشاره شد در این ساختار از ضریب غیر خطی اثر کر نیز استفاده شده است. ضریب شکست هر ماده دی‌الکتریک به صورت $n=n_1+n_2*I$ تعریف می‌شود، که n_1 مولفه خطی ضریب شکست ماده دی‌الکتریک می‌باشد که برای ماده بکار رفته در این ساختار برابر 3.1 می‌باشد. n_2 نیز ضریب اثر کر می‌باشد که برای ماده بکار رفته در این مقاله برابر $n_2=9*10^{-17} \text{ m}^2/\text{W}$ می‌باشد. I نیز شدت توان نور می‌باشد، طبق این رابطه ضریب شکست مواد دی‌الکتریک در توان‌های بالا تابعی از شدت توان نور تابشی به سطح ماده می‌باشد لذا می‌توان با تغییر شدت توان نور، ضریب شکست میله‌های دی‌الکتریک در کریستال‌های فوتونی را کنترل کرد. نکته مهم دیگر بکار رفته در طراحی این ساختار این است که طول موج رزونانسی رزوناتورهای حلقوی طراحی شده با استفاده از کریستال‌های فوتونی به ضریب شکست میله‌های هسته رزوناتور و نیز میله‌های پیرامونی حلقه رزونانسی وابسته است، بصورتی که کمترین تغییر در ضریب شکست این میله‌ها منجر به جابجایی طول موج رزونانسی رزوناتور حلقوی می‌شود. پس می‌توان نتیجه‌گیری کرد که با تغییر شدت توان نور ورودی به ساختار می‌توان طول موج رزونانسی رزوناتورهای حلقوی طراحی شده با کریستال‌های فوتونی را کنترل کرد.

۳- شبیه‌سازی و نتایج

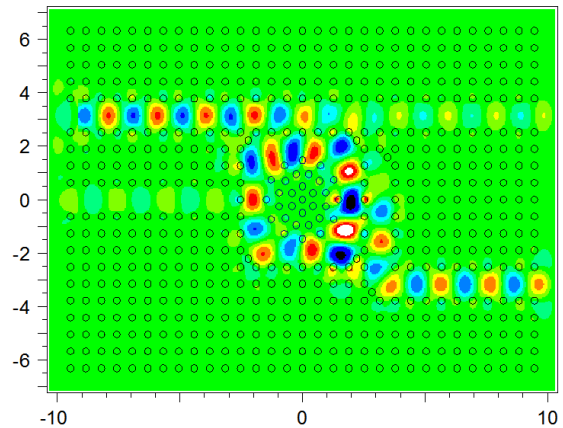
بعد از اتمام فرآیند طراحی دیکدر مورد نظر این مقاله نوبت شبیه‌سازی قطعه و مطالعه رفتار نوری و سویچ زنی آن می‌باشد. برای این کار از روش تفاضل نامتناهی استفاده شده است. همانگونه که در بخش قبل اشاره شد رزوناتور حلقوی چنان طراحی شده است که طول موج

است $O_1=0$ و $O_2=1$ می باشد.

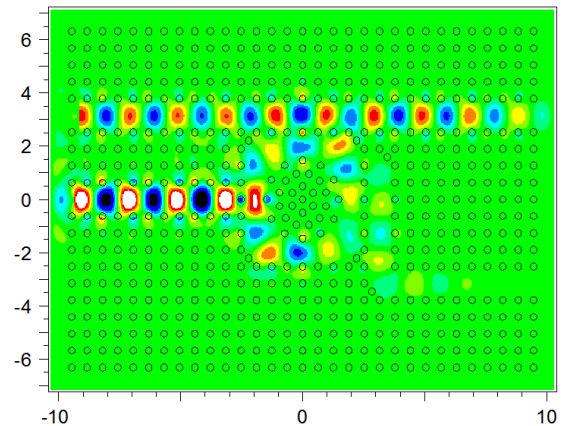
مراجع

- [1] H. Alipour-Banaei, and F. Mehdizadeh, "Significant role of photonic crystal resonant cavities in WDM and DWDM communication tunable filters", *Optik* (2012) <http://dx.doi.org/10.1016/j.ijleo.2012.07.029>.
- [2] H. Alipour-Banaei, M. Hassangholizadeh-Kashtiban, and F. Mehdizadeh, "WDM and DWDM optical filter based on 2D photonic crystal Thue-Morse structure", *Optik* (2013) <http://dx.doi.org/10.1016/j.ijleo.2013.03.027>.
- [3] F. Mehdizadeh, H. Alipour-Banaei, and S. Serajmohammadi, "Channel-Drop filter based on a photonic crystal ring resonator", *J. Opt.* 15 (2013) 075401 (7pp).
- [4] H. Alipour-Banaei, F. Mehdizadeh, and M. Hassangholizadeh-Kashtiban "Important Effect of Defect Parameters on the Characteristics of Thue-Morse Photonic Crystal Filters" *Advances in OptoElectronics* (2013) 2013, 856148.
- [5] H. Alipour-Banaei, F. Mehdizadeh, and M. Hassangholizadeh-Kashtiban "A novel proposal for all optical PhC-based demultiplexers suitable for DWDM applications" *Opt Quant Electron* 45 (2013) 1063–1075.
- [6] H. Alipour-Banaei, F. Mehdizadeh, and S. Serajmohammadi, "A novel 4-channel demultiplexer based on photonic crystal ring resonators" *Optik* (2013) <http://dx.doi.org/10.1016/j.ijleo.2013.04.117>.
- [7] A. Rostami, F. Nazari, H. Alipour Banaei, and A. Bahrami, "A novel proposal for DWDM demultiplexer design using modified T P\photonic crystal structure" *Photonic and Nanostructures – Fundamentals and Applications* 8 (2010) 14–22.
- [8] A. Rostami, H. Alipour Banaei, F. Nazari, and A. Bahrami, "An ultra-compact photonic crystal wavelength division demultiplexer using resonance cavities in a modified Y-branch structure" *Optik* 466 (2011) 1481–1485.
- [9] A. Sharkawy, S. Shi, and D. W. Prather, "Electro-optical switching using coupled photonic crystal waveguides", *Opt. Express*. 10 (2002) 1048–1059.
- [10] M. Danaei, and H. Kaatuzian, "Design and simulation of an all optical photonic crystal AND gate using nonlinear Kerr effect" *Opt Quant Electron* 44 (2012) 27–34.
- [11] X. Zhang, Y. Wang, J. Sun, D. Liu, and D. Huang, "All-optical AND gate at 10 Gbit/s based on cascaded single-port-coupled SOAs," *Opt. Express* 12 (2004) 361–366.
- [12] Z. Chen, Z. Li, and B. Li "A 2-to-4 decoder switch in SiGe/Si multimode interference" *Opt. Express* 14 (2006) 2671–2678.

طریق حلقه رزونانسی به موجبر L شکل کوپل شود و ناچار است درون موجبر باس منتشر شده و به سمت پورت O_2 حرکت کند. در این حالت پورت $O_2=1$ بوده و روشن می شود. که این حالت در شکل ۳ (ب) نشان داده شده است. لازم به تذکر است که این خروجی ها زمانی معتبر می باشند که ورودی بایاس دیکدر روشن باشد و در صورت خاموش بودن بایاس هر دو خروجی دیکدر برای هر دو حالت خاموش خواهند بود.



(الف)



(ب)

شکل ۳. خروجی دیکدر برای (الف) $I=0$ و (ب) $I=1$

۴- نتیجه گیری

در این مقاله از اولین دیکدر نوری مبتنی بر کریستال فوتونی طراحی و شبیه سازی شده است. این ساختار یک دیکدر ۱ به ۲ می باشد که دو پورت خروجی O_1 و O_2 آن توسط پورت ورودی I کنترل می شود. بدین صورت که وقتی $I=0$ می باشد $O_1=1$ و $O_2=0$ بوده و وقتی $I=1$